

مجله پزشکی دانشگاه علوم پزشکی تبریز
دوره ۵ شماره ۶ بهمن و اسفند ۱۳۸۹ صفحات ۷۶-۷۲

ارتباط حداکثر غلظت ماده کتراست و دانسیته سیگنال در میدانهای مغناطیسی ۰/۱ و ۱/۵ تسلا با استفاده از سکانس اسپین اکو در تصویر برداری T1-weighted

محمود نظریپور: گروه رادیولوژی، دانشکده پیراپزشکی، دانشگاه علوم پزشکی تبریز؛ نویسنده رابط

E-mail: mnazarpoor@yahoo.co.uk

زینت میابی: گروه رادیولوژی، دانشکده پزشکی، دانشگاه علوم پزشکی تبریز
عباس شفائی: گروه رادیولوژی، دانشکده پیراپزشکی، دانشگاه علوم پزشکی تبریز
اسماعیل پسیانیان: گروه رادیولوژی، دانشکده پیراپزشکی، دانشگاه علوم پزشکی تبریز
داود آقاوردی زاده: گروه علوم ازمایشگاهی، دانشکده پیراپزشکی، دانشگاه علوم پزشکی تبریز

دریافت: ۸۸/۸/۲۴، پذیرش: ۸۹/۴/۲

چکیده

زمینه و اهداف: پیدا نمودن حداکثر ماده کتراست تزریقی که منجر به ماکریم دانسیته سیگنال گردد، از اهمیت ویژه‌ای در MRI برخوردار است. پارامترهای مختلفی از جمله شدت میدان مغناطیسی دستگاه تصویر برداری MRI، سکانس‌های بکار رفته و همچنین پارامترهای تصویر برداری می‌توانند در افزایش دانسیته سیگنال ایقای نقش نمایند. هدف این مطالعه بررسی ارتباط بین حداکثر غلظت ماده کتراست و دانسیته سیگنال در میدانهای با شدت ۰/۳ و ۱/۵ تسلا با استفاده از سکانس اسپین اکو می‌باشد.

روش بررسی: در این مطالعه از فاتومی که بتواند لوله‌های آزمایش با غلظتها مختلف (۰ تا ۱۹/۷۷ میلی مول بر لیتر) را نگه دارد استفاده شده است. میانگین دانسیته سیگنال در هر یک از غلظتها مختلف با استفاده از تصویر T1-weighted بدست آمده است. ضرایب غیر یکواختی غیرهمگونی فرکانس رادیوئی کویل، محاسبه و در دانسیته سیگنال بدست آمده از غلظت‌های مختلف اعمال شده است.

یافته‌ها: نتایج نشان می‌دهد که ماکریم شدت سیگنال در غلظت ۰/۹۵ میلی مول بر لیتر در شدت میدان ۰/۳ تسلا اتفاق افتاده ولی این ماکریم در غلظت ۴/۹۶ میلی مول بر لیتر در شدت میدان ۱/۵ تسلا مشاهده شد. در ضمن حداکثر رابطه خطی بین غلظت ماده کتراست و دانسیته سیگنال در ۲/۰۲ و ۲/۷۰ میلی مول بر لیتر برتری در شدت میدان‌های مغناطیسی ۰/۳ و ۱/۵ تسلا مشاهده گردید.

نتیجه گیری: این مطالعه نشان می‌دهد که شدت میدان مغناطیسی دستگاه تصویر برداری MRI می‌تواند در رابطه بین حداکثر غلظت ماده کتراست و دانسیته سیگنال نقش ایفا نماید.

کلید واژه‌ها: غلظت ماده کتراست – دانسیته سیگنال – شدت میدان مغناطیسی – اسپین اکو – T1-weighted

مقدمه

پروفیوزن در موضع مورد نظر، لازم است غلظت ماده کتراست در تصویر MRI محاسبه شود. عموماً غلظت ماده کتراست منطقه مورد نظر بصورت غیرمستقیم از دانسیته سیگنال محاسبه می‌شود. فقط در غلظتها پایین ارتباط بین دانسیته سیگنال و غلظت ماده کتراست بر روی تصویر T1-weighted بصورت خطی می‌باشد. از آنجائیکه افزایش ماده کتراست منجر به افزایش نسبت سیگنال

شدت میدان مغناطیسی بر روی زمانهای آسایش T1 و T2 تاثیر می‌گذارد. مطالعات قبلی نشان می‌دهد افزایش شدت میدان باعث افزایش T1 و کاهش T2 می‌گردد. افزایش زمان آسایش T1 و کاهش زمان آسایش T2 سبب کاهش شدت سیگنال می‌گردد (۱-۳). برای محاسبه مقدار جریان و حجم خون موضعی مغز، میانگین زمان عبور ماده کتراست و بطور کلی برای اندازه گیری

برای مکانهای مختلف از این طریق بدست می‌آید. برای بدست آوردن مقدار صحیح دانسیته‌های سیگنال غلطهای مختلف که در محلهای متفاوت قرار دارند، دانسیته سیگنال بدست آمده در ضربی تصحیح ضرب گردید (۴). میانگین دانسیته سیگنال تصحیح شده از داخل ۹ پیکسل از ۴۴ پیکسلی که در سطح داخل لوله‌های آزمایش وجود داشت از روی تصاویر T1-weighted محاسبه شد.

۲- نحوه تصویر برداری

تمام اندازه گیریها در این مطالعه با استفاده از دستگاههای تصویربرداری کلینیکی Hitachi Medical ۰۳ و Tesla (۰/۵ Tesla) Corporation (General Electric) انجام شد.

پارامترهای روتین کلینیکی تصویر برداری اسپین اکو بشرح زیر می‌باشند:

میلی ثانیه = ۴۰۰ (TR) زمان تکرار، میلی ثانیه = ۱۸/۵ (TE) زمان گرفتن اکو، میلی متر = ۲×۲ (Pixel size) اندازه پیکسل، (Slice) ۲۵۶×۲۵۶ (Matrix size) = (۱۰ میلی متر) اندازه ماتریکس، (Flip angle) = ۹۰° (thickness) = ضخامت مقطع، (Flip angle) = ۹۰° (زاویه چرخش)

۳- آنالیز تصاویر

جهت آنالیز تصاویر، تمامی تصاویر با فرمت DICOM از دستگاه تصویربرداری MRI به کامپیوتر شخصی مستقل گردید. برای آنالیز تصویر از نرم افزار IDL (Interactive Data Language, Research Systems, Inc. NY, <http://www.rsinc.com>) استفاده شد. برای رسیدن به هدف مطالعه، برنامه‌های مفصل کامپیوتری نوشته شده است. این برنامه قادر است بصورت اتوماتیک ضرایب تصویر غیریکنواختی کویل با استفاده از فانتوم غلظت ثابت برای مکانهای مختلف لوله‌های آزمایش با غلطهای متغیر را محاسبه نماید. همچنین این برنامه می‌تواند میانگین دانسیته سیگنال برای ۹ پیکسل داخلی از ۴۴ پیکسل را برای غلطهای مختلف محاسبه نماید. علاوه بر موارد فوق الذکر برنامه می‌تواند پس از اعمال ضربی تصحیح، دانسیته سیگنال تصحیح شده برای غلطهای مختلف را محاسبه نماید. در ضمن این برنامه می‌تواند منحنی غلظت ماده کتراست را بر حسب دانسیته سیگنال رسم نموده و با محاسبه انحراف معیار برای ۹ پیکسل، آنرا بر روی منحنی نمایش دهد. درنهایت ماکریم دانسیته سیگنال تعیین و ارتباط خطی بین غلظت ماده کتراست و دانسیته سیگنال که ضربی همبستگی (R^2) برابر ۰/۹۵ می‌باشد محاسبه گردید.

یافته‌ها

یافته‌های پژوهش در شکل‌های ۱ و ۲ ارتباط بین غلظت ماده کتراست و دانسیته سیگنال برای سکانس اسپین اکو (SE) در تصویربرداری T1-weighted در شدت میدانهای ۰/۳ و ۰/۵ Tesla را نشان می‌دهد. میله‌های عمودی میزان انحراف معیار را از ۹ پیکسل داخلی لوله آزمایش، برای هر غلظت، مشخص می‌کند.

به نویز، در تصویرهای پرفیوزن می‌شود، پیدا نمودن حداقل غلظت ماده کتراست که رابطه خطی بین آن و دانسیته سیگنال حفظ شود ضروری می‌باشد (۶-۴).

در مطالعات قبلی اثر پارامترهای تصویربرداری در رابطه بین غلظت ماده کتراست و دانسیته سیگنال مورد مطالعه قرار گرفته است (۶-۴) ولی اثر شدت میدان در آن مورد ارزیابی قرار نگرفته است. هدف این مقاله بدست آوردن حداقل غلظت ماده کتراست که در آن رابطه خطی بین آن و دانسیته سیگنال محفوظ بماند در شدت میدانهای ۰/۳ و ۰/۵ Tesla با استفاده از سکانس اسپین اکو می‌باشد.

مواد و روش‌ها

۱- فاتوم

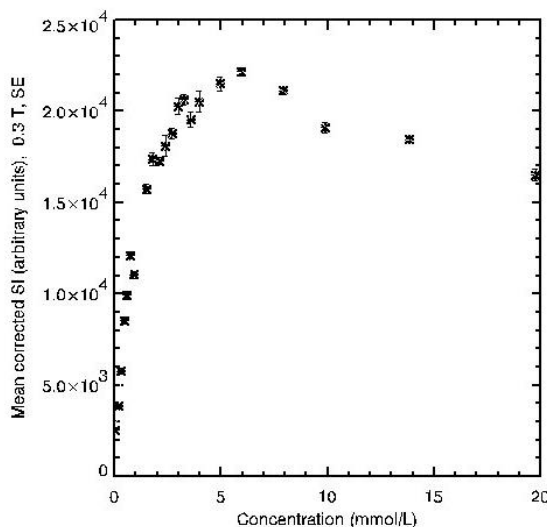
به منظور ارزیابی رابطه خطی بین غلظت ماده کتراست و دانسیته سیگنال، فاتومی که نگهدارنده لوله‌های آزمایش باشد به شکل مکعب، از جنس فایبرگلاس که بتواند در داخل کویل کلینیکی سر قرار بگیرد طراحی و ساخته شد. این فاتوم قادر بود لوله‌های آزمایش (شیشه‌ای با قطر تقریبی ۱۵ میلیمتر) با غلطهای متغیر و یا ثابت را نگه دارد. لوله‌های آزمایش با غلطهای ثابت برای اندازه گیری غیریکنواختی کویل بکار رفته است. همچنین تعداد ۲۲ لوله آزمایش با غلطهای متغیر ماده کتراست Gd-DTPA, (Magnevist, Schering HealthCare Ltd, West Sussex, UK)) در داخل فاتوم قرار گرفت. غلظت‌های متغیر ماده کتراست بین ۰/۰۰-۱۹/۷۷ میلی مول بر لیتر (شامل غلطهای ۰/۰۰، ۰/۱۰، ۰/۱۸۰، ۰/۴۵، ۰/۴۰، ۰/۶۰، ۰/۷۵، ۰/۹۰، ۰/۹۵، ۱/۲۰، ۱/۴۰، ۱/۶۰، ۱/۸۰، ۱/۹۰، ۲/۹۹، ۲/۸۹، ۳/۵۸، ۳/۹۶، ۳/۹۸، ۵/۹۵، ۷/۹۳، ۹/۹۰، ۹/۸۵ و ۱۳/۸۵) مورد استفاده قرار گرفت.

لوله‌های با غلظت ثابت (۱/۲۰ میلی مول بر لیتر) دقیقاً در محل مکانهای لوله‌های غلظت متغیر قرار داده شدند. دو آزمایش مستقل (فاتوم با غلطهای متغیر و ثابت) برای دو دستگاه تصویربرداری MRI انجام شده است. لوله‌های آزمایش به صورت عمودی در داخل فاتوم و فاتوم در داخل کویل قرار داده شد.

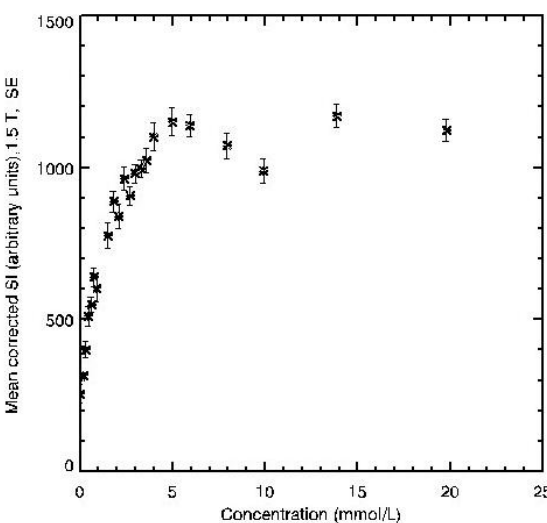
غیریکنواختی کویل‌ها یکی از عوامل مهم غیریکنواختی تصویردر MRI می‌باشد (۷). لذا برای انجام کارهای تحقیقاتی باید از یکنواختی کویل‌ها اطمینان داشته و در غیر اینصورت به روش‌های مختلف نسبت به یکنواخت نمودن تصاویر اقدام نمود (۸). مطالعات قبلی نشان می‌دهد که هیچکدام از کویل‌های کلینیکی تصویربرداری بطور کامل یکنواخت نمی‌باشند (۱۰). لذا در این مطالعه برای یکنواخت نمودن سیگنالهای بدست آمده از لوله‌های آزمایش با غلظت ثابت استفاده شده است. از انجائیکه بایستی دانسیته سیگنال در داخل ۲۲ لوله آزمایش با غلظت ثابت به یک اندازه باشد ولی در عمل بعلت غیریکنواختی کویل‌ها این چنین نیست، لذا مقادیر سیگنال اندازه گیری شده از روی تصویر کرونال بایستی با ضرب و یا تقسیم بر عددی به یک مقدار ثابت تغییر یابد. بنابراین فاکتور ضرایب تصویر غیریکنواختی کویل

است (شکل ۲). در ضمن حداقل رابطه خطی بین غلظت ماده کتراست و دانسیته سیگنال برای شدت میدان‌های مغناطیسی 0.3 T و $1/5\text{ Tesla}$ برابر $202\text{ میلی مول بر لیتر}$ و $270\text{ میلی مول بر لیتر}$ تعیین شده است ($R^2 = 0.95$)

شکل ۱ بیانگر این مطلب است که ماکریم دانسیته سیگنال در غلظت $5/95\text{ میلی مول بر لیتر}$ در شدت میدان مغناطیسی 0.3 T و $4/96\text{ میلی مول بر لیتر}$ در شدت میدان مغناطیسی $1/5\text{ Tesla}$ باشد، در حالیکه این ماکریم سیگنال در غلظت ماکریم $5/95\text{ میلی مول بر لیتر}$ در شدت میدان مغناطیسی 0.3 T مشاهده شده



شکل ۱: میانگین سیگنال تصحیح شده (از لحاظ غیریکنواختی کویل) از 9 پیکسل داخلی بر حسب غلظت ماده کتراست با استفاده از شدت میدان مغناطیسی 0.3 T . بیشترین سیگنال در غلظت $5/95\text{ میلی مول بر لیتر}$ گرفته شده است. میله‌های عمودی میزان انحراف معیار را برای هر غلظت مشخص می‌کند. ارتباط خطی بین غلظت ماده کتراست و دانسیته سیگنال برابر $202\text{ میلی مول بر لیتر}$ ($R^2=0.95$) می‌باشد.



شکل ۲: میانگین سیگنال تصحیح شده (از لحاظ غیریکنواختی کویل) از 9 پیکسل داخلی بر حسب غلظت ماده کتراست با استفاده از شدت میدان مغناطیسی $1/5\text{ Tesla}$. بیشترین سیگنال در غلظت $4/96\text{ میلی مول بر لیتر}$ گرفته شده است. میله‌های عمودی میزان انحراف معیار را برای هر غلظت مشخص می‌کند. در ضمن ارتباط خطی بین غلظت ماده کتراست و دانسیته سیگنال برابر $270\text{ میلی مول بر لیتر}$ ($R^2=0.95$) می‌باشد.

بحث

Morkenborg و همکاران نیز این رابطه را تا ۵ میلی مول بر لیتر با استفاده از دستگاه ۱/۵ Tesla و تا ۳ میلی مول بر لیتر با استفاده از دستگاه ۷ Tesla و با بکارگیری از سکانس اسپین اکو گزارش نموده اند (۱۶).

نتایج این مطالعه بیانگر این مطلب است که این ارتباط خطی، به شدت میدان مغناطیسی اعمالی دستگاه تصویربرداری MRI بستگی دارد. از آنجائیکه این رابطه علاوه بر شدت میدان مغناطیسی، سکانس‌های تصویربرداری، به پارامترهای تصویربرداری نیز بستگی دارد، امکان مقایسه با سایر یافته‌های فوق الاشاره وجود ندارد (۵ و ۶). ضمناً شکلهای ۱ و ۲ نشان می‌دهد که در غلظت‌های پایین اثر T1 بر اثر T2 غالب می‌شود. این امر سبب می‌گردد که در این غلظت‌ها، شدت سیگنال افزایش یابد. ولی در غلظت‌های بالاتر تأثیرات T2 بر روی تصویر بیشتر و منجر به کاهش سیگنال می‌گردد.

نتیجه گیری

نتایج این مطالعه نشان می‌دهد که علاوه بر پارامترهای تصویربرداری که قبلاً گزارش شده است (۵ و ۶)، شدت میدان مغناطیسی هم می‌تواند به عنوان یک پارامتر مهم در ارتباط خطی بین غلظت ماده کتراست و دانسیته سیگنال ایفای نقش نماید. لذا برای بدست آوردن پروفیوژن در تصویربرداری T1-weighted بایستی به این پارامتر هم توجه نمود.

تقدیر و تشکر

نویسندهای این مقاله از حمایت مالی معاونت محترم پژوهشی دانشگاه علوم پزشکی تبریز، از دست اندکاران کلینیک شیخ‌الرئیس و کلینیک حافظ بخاطر همکاریهای مبذوله در گرفتن تصاویر MRI تشکر و قدردانی می‌نمایند.

برای اندازگیری پروفیوژن در MRI نیاز به منحنی های غلظت ماده کتراست بر حسب زمان داریم. دانسیته سیگنال توسط دستگاه تصویربرداری MRI قابل اندازه گیری می‌باشد و غلظت ماده کتراست به صورت غیرمستقیم باستی توسط دانسیته سیگنال معین گردد (۱۱). این موضوع وقتی قابل تحقق است که رابطه بین دانسیته سیگنال و غلظت ماده کتراست بصورت خطی باشد.

این نکته قابل ذکر است که ماده کتراست تزریقی در تصویربرداری T1-weighted حدود یک دهم ماده کتراست تزریقی در تزریقی در تصویربرداری T2-weighted می‌باشد (۱۲). این امر سبب شده است نسبت سیگنال به نویز در تصاویر کاهش یابند. بدین علت است که محققیق دنبال افزایش ماده کتراست تزریقی که منجر به افزایش نسبت سیگنال به نویز در تصاویر T1-weighted گردد می‌باشد.

این مطالعه تلاش نموده است که تاثیر دو شدت میدانهای مغناطیسی مختلف را بر روی ارتباط بین دانسیته سیگنال و غلظت ماده کتراست در تصویر T1-weighted بررسی نماید.

مطالعات قبلی توسط Brasch نشان می‌دهد که حداقل غلظت ماده کتراستی که سبب رابطه خطی با دانسیته سیگنال شود در غلظت ۵ میلی مول بر لیتر با بکارگیری شدت میدان مغناطیسی ۰/۸۵ Tesla با استفاده از سکانس اسپین اکو بوده است (۱۳).

Takeda و همکاران این ارتباط خطی را تا ۳ میلی مول بر لیتر با استفاده از سکانس‌های اسپین اکو و گرادیان اکو با بکارگیری از اسکنر ۱/۵ Tesla گزارش نموده اند (۱۴).

Shahbazi-Gahrouei و همکاران ارتباط خطی بین غلظت ماده کتراست (Gd-DTPA) با دانسیته سیگنال در شدت میدان مغناطیسی ۷ Tesla را تا ۴ میلی مول بر لیتر در داخل آب و تا ۶ میلی مول بر لیتر در داخل خون با استفاده از سکانس بازیافت معکوس گزارش نموده اند (۱).

Canet و همکاران این رابطه خطی را کمتر از ۰/۸ میلی مول بر لیتر در سکانس بازیافت معکوس گزارش نموده اند (۱۵).

References:

- Shahbazi-Gahrouei D, Williams M, Allen BJ. In vitro study of relationship between signal intensity and gadolinium-DTPA concentration at high magnetic field strength. *Australasian Radiology* 2001; **45**(3): 298-304.
- Merkle EM, Dale BM. Abdominal MRI at 3 T: The basics revisited. *AJR* 2006; **186**: 1524-1532.
- Ladd ME. High-Field-Strength Magnetic Resonance Potential and limits. *Top Magn Reson Imaging* 2007; **18**: 139-152.
- Nazarpoor M, Moody AR, Martel AL, Morgan PS. The relationship between contrast agent concentration and signal intensity on T1 weighted images for measuring perfusion with MRI. *Magnetic Resonance Materials in Physics, Biology and Medicine* 2003; **16** Suppl 1: 243-244
- Nazarpoor M. The effect of repetition time on the maximum linear relationship between contrast agent concentration and signal intensity on T1 weighted image using inversion recovery (IR) sequence. *IJR* 2009; **6**(4): 247-252.
- Nazarpoor M. Maximum linear relationship between contrast agent concentration and signal intensity on T1 weighted images using inversion recovery and saturation recovery sequences (Centre out Phase-Encoding acquisition) in MRI. *8th*

- Iranian Congress of Medical Physics.* Shahid Beheshty University, Iran, May 2008; 68.
7. Mohamed FB, Vinitski S, Faro SH, Ortega HV, Enochs S. A simple method to improve image nonuniformity of brain mr Images at the edges of a head coil. *Computer Assisted Tomography* 1999; **23**(6): 1008-1012.
 8. Simmons A, Tofts PS, Barker GJ, Arridge SA. Sources of intensity nonuniformity in spin echo images at 1.5 t. *Magnetic Resonance in Medicine* 1994; **32**(1): 121-128.
 9. Linkar B, Viergever MA, Pernus F. Retrospective correction of Mr Intensity in homogeneity by information minimization. *IEEE Transactions on Medical Imaging* 2001; **20**(12): 1398-1410.
 10. Nazarpoor Mahmood. Non uniformity of different coils in MRI, *8th Iranian Congress of Medical Physics.* Shahid Beheshty University, Iran. May 2008; 28-29.
 11. Calamante F, Thomas DL, Pell GS, Wiersma J, Turner R. Measuring cerebral blood flow using magnetic resonance imaging techniques. *Journal of Cerebral Blood Flow & Metabolism* 1999; **19**: 701-735.
 12. Moody AR, Martel A, Kenton A, Allder S, Horsfield MA, Delay G. Contrast-reduced imaging of tissue concentration and arterial level (CRITICAL) for assessment of cerebral hemodynamics in acute stroke by magnetic resonance. *Investigative Radiology* 2000; **35**: 401-411.
 13. Brasch RC. Methods of contrast enhancement for NMR imaging and potential applications. A subject review. *Radiology* 1983; **147**: 781-788.
 14. Takeda M, Katayama Y, Tsutsui T, Komeyama T, Mizusawa T. Dose gadolinium-diethylene triamine pentaacetic acid enhanced MRI of kidney represent tissue concentration of contrast media in the kindey? In vivo and in vitro study. *Magn Reson Imaging* 1994; **12**: 421-427.
 15. Canet E, Douek P, Janier M, Bendid K, Amaya J, Millet P, et al. Influence of bolus volume and dose of gadolinium chelate for first-pass myocardial perfusion MR imaging studies. *JMRI* 1995; **4**: 411-415.
 16. Mørkenborga J, Pedersena M, Jensen FT, Stødkilde-Jørgensen H, Djurhuusd TC, Frøkiær J. Quantitative assessment of Gd-DTPA contrast agent from signal enhancement: an in-vitro study. *Magnetic Resonance Imaging* 2003; **21**: 637-643.